

METODE ASYMETRIC WATERMARKING DENGAN PENJUMLAHAN CHAOS DALAM RANAH DCT

Rinaldi Munir, Bambang Riyanto, Sarwono Sutikno, Wiseto P. Agung

Sekolah Teknik Elektro dan Informatika ITB

E-mail: rinaldi@informatika.org

Abstrak

Asymmetric watermarking menggunakan kunci yang berbeda untuk menyisipkan dan mendeteksi watermark. Di dalam makalah ini disajikan metode asymmetric watermarking berbasis chaos pada citra digital. Sifat chaos yang peka terhadap perubahan kecil nilai awal cocok untuk meningkatkan keamanan watermark. Dalam hal ini, kunci privat adalah watermark privat berupa barisan nilai riil yang berdistribusi normal $N(0, 1)$, sedangkan kunci publik adalah watermark publik yang diperoleh dengan menjumlahkan watermark privat dengan sebuah barisan chaos. Watermark privat disisipkan pada koefisien DCT yang dipilih dari sub-band middle frequency. Pendeteksian watermark dilakukan dengan menghitung korelasi antara citra yang diterima dengan watermark publik. Hasil eksperimen menunjukkan bahwa metode ini terbukti robust terhadap beberapa serangannon-malicious attack dan malicious attack

Kata Kunci: asymmetric watermarking, chaos, DCT, korelasi, robust.

1. PENDAHULUAN

Data multimedia seperti citra digital, audio, video, dan lain-lain mudah ditransmisikan, diubah, dan digandakan dengan kualitas yang sama dengan data asal. Masalah yang muncul dari distribusi dan penggandaan ilegal adalah *copyright Digital watermarking* merupakan teknik yang digunakan untuk mengontrol penggandaan dan distribusi data multimedia [1]. Persyaratan utama skema *digital watermarking* adalah *imperceptibility*, *robustness*, dan *security* [2]. Ada dua proses utama di dalam skema *watermarking*, yaitu penyisipan dan pendeteksian *watermark*. Kedua proses ini menggunakan kunci agar hanya pihak yang punya otorita yang dapat melakukannya.

Sejumlah skema *watermarking* sudah banyak dipublikasikan dalam beberapa tahun terakhir. Tetapi, satu masalah di dalam *state-of-the-art* skema *watermarking* tersebut adalah kebanyakan

skema itu simetri, yaitu menggunakan kunci yang sama untuk menyisipkan dan mendeteksi *watermark*. Skema simetri mempunyai kelemahan mendasar, yaitu sekali penyerang mengetahui kunci dan semua parameter penting lainnya (termasuk algoritma *watermarking* yang bersifat publik), ia dapat menggunakan informasi tersebut untuk menghapus *watermark* dari data multimedia tanpa menimbulkan kerusakan berarti. Hal ini dimungkinkan karena pada kebanyakan sistem simetri kunci adalah *watermark* itu sendiri atau nilai yang yang menspesifikasikan lokasi penyisipan *watermark* di dalam data multimedia.

Masalah ini dapat diselesaikan dengan menggunakan skema *asymmetric watermarking*. Pada skema ini digunakan kunci (*watermark*) yang berbeda untuk penyisipan dan pendeteksian. Skema *asymmetric watermarking* disebut *public-key watermarking* jika *watermark* yang digunakan untuk

pendeteksian dipublikasikan, maka kunci tersebut dinamakan kunci (*watermark*) publik. Kunci (*watermark*) yang digunakan pada proses penyisipan dirahasiakan sehingga dinamakan kunci (*watermark*) privat). Skema *public-key watermarking* ini dilakukan dengan suatu cara sedemikian sehingga: (a) secara komputasi tidak mungkin menghitung kunci privat dari kunci publik, dan (b) kunci publik tidak dapat digunakan oleh penyerang untuk menghilangkan *watermark* [3]. Review beberapa metode *asymmetric watermarking* awal dapat ditemukan di dalam [4].

Secara umum, di dalam skema *asymmetric watermarking*, deteksi *watermark* biasanya direalisasikan dengan uji korelasi antara *watermark* publik dengan data multimedia yang diterima [6]. Hasil pendeteksian adalah keputusan biner yang mengindikasikan apakah data multimedia tersebut mengandung *watermark* atau tidak.

Baik *watermark* privat (yang disisipkan) maupun *watermark* publik (referensi untuk pendeteksian) keduanya harus berkorelasi. Ada banyak cara untuk membangkitkan dua buah *watermark* yang berkorelasi. Di dalam skema [7], *watermark* privat dan publik dibangkitkan dengan menggunakan transformasi linier dan balikan *transpose*-nya. Di dalam skema [5], penulisnya menggunakan permutasi rahasia (dari himpunan permutasi yang dibangkitkan) untuk membangkitkan *watermark* privat dari *watermark* publik.

Di dalam makalah ini dipresentasikan skema *asymmetric watermarking* berdasarkan *chaos*. *Chaos* diterapkan karena ia mempunyai karakteristik penting untuk meningkatkan keamanan, yaitu sensitivitas pada kondisi awal. Karakteristik ini cocok untuk enkripsi dan *watermarking* [8] Fungsi *chaos* digunakan untuk membangkitkan nilai-nilai bobot. *Watermark* publik dibangkitkan dengan menjumlahkan barisan *chaos* ini kepada *watermark* privat. Data multimedia yang disisipi *watermark* adalah citra *greyscale*. Baik

penyisipan maupun pendeteksian *watermark* keduanya dilakukan pada ranah *discrete cosine transform (DCT)*.

2. CHAOS DAN WATERMARKING

Karakteristik umum pada sistem *chaos* adalah kepekaannya terhadap perubahan kecil nilai awal (*sensitive dependence on initial condition*). Kepekaan ini berarti bahwa perbedaan kecil pada nilai awal fungsi, setelah fungsi diiterasi sejumlah kali, akan menghasilkan perbedaan yang sangat besar pada nilai fungsinya [9, 10].

Salah satu fungsi *chaos* sederhana adalah persamaan logistik (*logistic map*). Persamaan logistik dinyatakan sebagai

$$x_{i+1} = rx_i(1 - x_i) \quad (1)$$

dengan x_0 sebagai nilai awal iterasi. Konstanta r menyatakan laju pertumbuhan fungsi, yang dalam hal ini $0 \leq r \leq 4$. Dengan melakukan iterasi persamaan (1) dari nilai awal x_0 tertentu, kita memperoleh barisan nilai-nilai *chaos*. Nilai-nilai *chaos* tersebut teletak di antara 0 dan 1 dan tersebar secara merata serta tidak ada dua nilai yang sama.

Sifat *chaos* yang peka terhadap perubahan kecil berarti jika nilai awal x_0 diubah sedikit, misalnya sebesar 0.00001, maka setelah beberapa kali iterasi diperoleh barisan nilai *chaos* yang berbeda dan semakin lama nilainya mengalami divergensi dari nilai-nilai *chaos* semula.

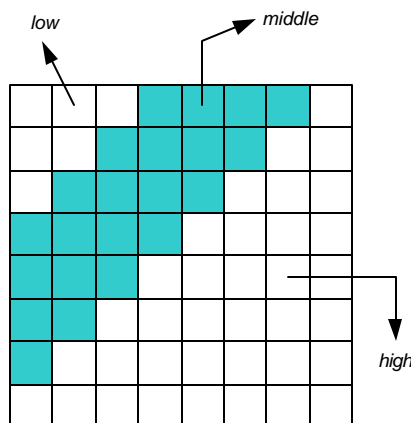
Beberapa tahun terakhir teori *chaos* banyak digunakan di dalam *digital watermarking*. *Chaos* digunakan khususnya sebagai pembangkit bilangan acak. Barisan nilai *chaos* digunakan langsung sebagai *watermark* [4] atau menyatakan lokasi penyisipan *watermark* di dalam citra [6].

3. WATERMARKING DALAM RANAH DCT

Menyisipkan dan mendeteksi *watermark* dalam ranah *transform* menghasilkan *robustness*

yang lebih tinggi dibandingkan dalam ranah spasial. Dalam hal ini, citra ditransformasikan ke dalam ranah *transform*, kemudian *watermark* disisipkan pada koefisien-koefisien *transform* yang dipilih. Selanjutnya lakukan transformasi balikan untuk mendapatkan citra ber-*watermark*. Kakas yang digunakan untuk transformasi adalah *FFT*, *DCT*, *DWT*, *Fourier-Melin*, dan lain-lain. Skema *watermarking* yang digunakan di dalam skema ini adalah *DCT*. Transformasi *DCT* dapat dilakukan terhadap keseluruhan citra atau pada blok-blok citra berukuran 8×8 . Dengan mengacu pada kompresi *JPEG*, *watermarking* berbasis blok berukuran 8×8 umumnya lebih *robust* [12]. Metode *watermarking* dalam makalah ini berbasis blok 8×8 .

Ranah *DCT* membagi citra ke dalam tiga *sub-band* frekuensi (*low*, *middle*, dan *high*), lihat Gambar 1. Penyisipan pada bagian *low frequency* dapat merusak citra karena mata manusia lebih peka pada frekuensi yang lebih rendah daripada frekuensi lebih tinggi. Sebaliknya bila *watermark* disisipkan pada bagian *high frequency*, maka *watermark* tersebut dapat terhapus oleh operasi kuantisasi seperti pada kompresi *lossy* (misalnya *JPEG*). Oleh karena itu, untuk menyeimbangkan antara *robustness* dan *imperceptibility*, maka *watermark* disisipkan pada bagian *middle frequency* (bagian yang diarsir pada Gambar 1).



Gambar 1. Pembagian tiga kanal frekuensi pada blok *DCT* berukuran 8×8

Koefisien *DCT* pada area *middle* dapat diperoleh dengan cara berikut: mula-mula semua koefisien *DCT* (kecuali nilai *DC*) dari blok citra dibaca dengan memindai secara zig-zag, seperti halnya pada kompresi *JPEG*. Kemudian semua koefisien *DCT* dari indeks ke- $(s + 1)$ hingga indeks ke- $(s + 64 \times \frac{M}{N_1 \times N_2})$ diambil dari susunan zig-zag tadi [12]. s adalah jumlah koefisien *DCT* yang dilompati, M adalah panjang *watermark* dan $N_1 \times N_2$ adalah ukuran citra. *Watermark* disisipkan pada koefisien-koefisien *DCT* yang terpilih ini (akan dijelaskan di bawah ini).

4. METODE YANG DIUSULKAN

Ada tiga tahapan proses yang dilakukan di dalam metode *asymmetric watermarking* yang diusulkan di dalam makalah ini. Masing-masing tahap dijelaskan di dalam sub-bab berikut.

4.1 Pembangkitan *Watermark* Privat dan Publik

Watermark yang akan disisipkan memiliki ukuran (d) kira-kira seperempat dari ukuran citra. Jika citra berukuran $N_1 \times N_2$, maka *watermark* berukuran $N_1 N_2 / 4$. *Watermark* adalah barisan bilangan riil semi-acak yang mempunyai distribusi normal dengan rerata = 0 dan variansi = 1 (notasi: $N(0, 1)$).

Mula-mula bangkitkan *watermark* privat w_s berdasarkan $N(0, 1)$:

$$w_s = (w_s(1), w_s(2), \dots, w_s(M))$$

Selanjutnya bangkitkan barisan *chaos* (rahasia) dengan nilai awal i :

$$k = (k(1), k(2), \dots, k(M))$$

Barisan *chaos* ini dijumlahkan ke *watermark* privat untuk menghasilkan *watermark* publik w_p :

$$w_p = (w_p(1), w_p(2), \dots, w_p(M))$$

yang dalam hal ini

$$w_p(i) = k(i) + w_s(i), i = 1, 2, \dots, M \quad (2)$$

Persamaan (2) ini mengindikasikan bahwa kedua *watermark* berkorelasi satu sama lain.

4.2 Penyisipan *Watermark*

Citra I yang berukuran $N \times M$ dibagi menjadi blok-blok kecil berukuran 8×8 . Setiap blok ditransformasi dengan *DCT*, lalu koefisien *DCT* dipindai secara *zig-zag* dan semua koefisien *DCT* pada bagian middle frequency diambil (seperti dijelaskan di dalam sub-bab 3). Misalkan koefisien-koefisien *DCT* yang terpilih ini disimpan di dalam larik f . Penyisipan *watermark* ke dalam f dilakukan dengan persamaan berikut [12]:

$$f_w(i) = f(i) + \alpha |f(i)| w_s(i) \quad (3)$$

yang dalam hal ini α adalah faktor kekuatan *watermark* ($0 < \alpha < 1$) yang dipilih sedemikian rupa sehingga *watermark* tidak dapat dipersepsi secara visual namun masih dapat dideteksi. Di dalam persamaan (3), *watermark* diskalakan dengan nilai mutlak koefisien *DCT* sebelum dijumlahkan ke dalam koefisien tersebut.

Terakhir, terapkan transformasi *DCT* balikan (*IDCT*) pada setiap blok untuk mendapatkan citra ber-*watermark*.

4.3 Pendeteksian *Watermark*

Pendeteksian *watermark* tidak membutuhkan citra asal, tetapi hanya membutuhkan *watermark* publik yang berkorelasi dengan *watermark* privat. Hasil pendeteksian ada dua kemungkinan: citra mengandung *watermark* atau tidak mengandung *watermark*.

Citra yang diterima dibagi menjadi blok-blok berukuran 8×8 , lalu koefisien *DCT* pada bagian *middle frequency* (yang mungkin mengalami kerusakan karena *non-malicious attack*) diekstraksi. Misalkan koefisien-koefisien *DCT* yang diekstraksi ini disimpan di dalam larik f^* .

Pendeteksian dilakukan dengan menghitung korelasi antara f^* dan *watermark* publik w_p :

$$c = \frac{1}{M} \sum_{i=1}^M f^*(i) \cdot w_p(i) \quad (4)$$

Keputusan ada tidaknya *watermark* di dalam citra uji ditentukan dengan membandingkan nilai c dengan sebuah nilai ambang T . Citra mengandung *watermark* bila $|c| > T$, sebaliknya citra tidak mengandung *watermark*. T bergantung pada citra yang diuji dan dapat dihipotesiskan dengan persamaan [12]:

$$T = a \cdot m_{f^*} \cdot s_{w_p}^2 / 2 \quad (5)$$

yang dalam hal ini m_{f^*} adalah nilai rata-rata $|f^*|$ dan $s_{w_p}^2$ adalah variansi *watermark* publik w_p .

5. EKSPERIMEN DAN HASIL

Metode ini diuji dengan menggunakan kaskas MATLAB 7. Citra yang digunakan adalah citra *Lena* (256×256). *Watermark* yang disisipkan berukuran 128×128 dan mempunyai distribusi normal berdasarkan $N(0, 1)$. Nilai $s = 9$, $\alpha = 0.15$. Nilai awal *logistic map* yang digunakan adalah $i = 0.1$. Gambar 2(a) memperlihatkan citra asal dan Gambar 2(b) adalah citra yang telah mengandung *watermark* (PSNR = 47,0).



Gambar 2. (a) Citra *Lena* asli, (b) citra *Lena* yang sudah mengandung *watermark* (PSNR = 47,0).

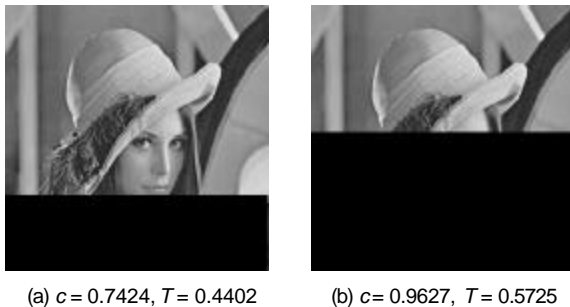
Pada kasus tidak ada serangan, nilai korelasi yang dihasilkan adalah $c = 0.4180$ (lebih besar dari $T = 0.2145$). Jika citra *Lena* yang diuji tidak

mengandung *watermark*, maka $c = -0.0841$ (nilai mutlaknya lebih kecil dari $T = 0.2147$).

Eksperimen selanjutnya dilakukan untuk melihat kekokohan *watermark* terhadap berbagai serangan *non-malicious attack*, yaitu operasi tipikal yang umum dilakukan pada pengolahan citra (*cropping*, kompresi, dll). Program pengolahan citra yang digunakan adalah *Jasc Paintshop Pro*.

Eksperimen 1: Pemotongan (*cropping*)

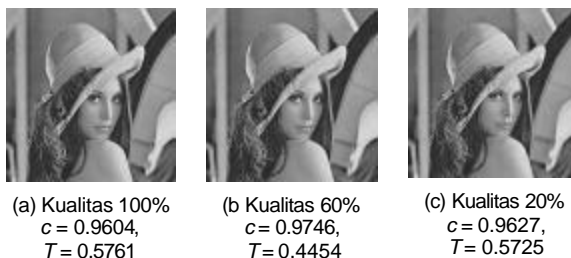
Watermark masih dapat dideteksi dari citra ber-*watermark* meskipun citra tersebut dipotong hingga 50% (Gambar 3).



Gambar 3. Pemotongan sebesar (a) 25% dan (b) 50%. *Watermark* masih dapat dideteksi.

Eksperimen 2: Kompresi JPEG

Citra ber-*watermark* dikompresi ke format *JPEG* dengan kualitas kompresi 100%, 60%, 20%. *Watermark* masih dapat dideteksi dari citra hasil kompresi (Gambar 4).

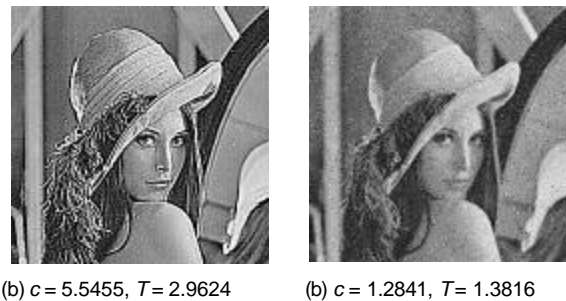


Gambar 4. Kompresi ke format JPEG dengan berbagai kualitas kompresi. *Watermark* masih dapat dideteksi.

Eksperimen 3: Penajaman dan derau

Citra ber-*watermark* dipertajam sehingga tepi-tepi di dalam citra terlihat lebih menonjol. kompresi ke

format *JPEG* dengan kualitas kompresi 100%, 60%, 20%. *Watermark* masih dapat dideteksi dari citra hasil kompresi (Gambar 5). Sedangkan untuk menguji ketahanan terhadap derau, citra ditambahkan dengan derau berupa *salt and peppers* 2%, ternyata *watermark* masih dapat dideteksi. Untuk derau lebih besar dari 2%, nilai korelasi c sedikit di bawah nilai ambang T (jika nilai T diturunkan, *watermark* masih dapat dianggap berhasil dideteksi). Lihat Gambar 5.



Gambar 5. (a) Penajaman citra, (b) Distorsi karena derau *salt and peppers* sebesar 8%.

Eksperimen 4: Pengubahan ukuran gambar

Citra ber-*watermark* diperkecil ukurannya hingga 75%, lalu dikembalikan lagi ke ukuran semula untuk pendeketsian (Gambar 6). *Watermark* masih dapat dideteksi. Untuk perbesaran hingga 2 kali ukuran semula, *watermark* juga masih dapat dideteksi ($c = 0.7535$, $T = 0.5525$).



(a) $c = 0.6145$, $T = 0.4581$

Gambar 6. Pengecilan ukuran citra hingga 75% dari ukuran semula. *Watermark* masih dapat dideteksi.

6. ANALISIS MALICIOUS ATTACK

Serangan *malicious attack* bertujuan untuk menghapus *watermark* dari citra dengan melakukan manipulasi persamaan (3) untuk memperoleh $f(i)$. Informasi lain seperti $f_w(i)$, w_p , dan α dimiliki oleh penyerang. Tetapi, penyerang harus mengetahui w_s

agar bisa menghapus *watermark* dari dalam citra. Untuk mendapatkan w_s , penyerang melakukan operasi pengurangan berikut:

$$w_s = w_p - k \quad (7)$$

Oleh karena vektor k rahasia, maka penyerang tidak dapat melakukan hal ini. Jika penyerang mencoba membangkitkan k , maka ada tidak berhingga kemungkinan k yang dihasilkan oleh *logistic map* dengan nilai awal antara 0 dan 1. Dengan mengingat fungsi *chaos* sensitif terhadap perubahan kecil nilai awal, maka penyerang dapat frustrasi untuk menemukan nilai awal *chaos* yang tepat. Jadi, *exhaustive search* untuk menemukan barisan *chaos* menjadi tidak mungkin dilakukan. Dengan kata lain, *watermark* privat tidak mungkin diturunkan dari *watermark* publik.

7. KESIMPULAN

Di dalam makalah ini telah dipresentasikan metode *asymmetric watermarking* berbasis *chaos* dalam ranah *DCT* pada citra digital. Penyisipan dilakukan pada area *middle frequency* dari ranah *DCT* untuk memperoleh keseimbangan antara *imperceptibility* dan *robustness*. *Watermark* publik diperoleh dengan menjumlahkan *watermark* privat dengan barisan *chaos*. Hasil eksperimen menunjukkan bahwa metode ini terbukti *robust* terhadap serangan *non-malicious attack* (kompresi, *cropping*, *resizing*, *sharpening*, distorsi karena derau) dan *malicious attack* (*exhaustive search* untuk menemukan barisan nilai *chaos*).

8. DAFTAR PUSTAKA

- [1] Ingemar J. Cox, dkk, "Secure Spread Spectrum Watermarking for Multimedia", IEEE Trans. On Image Processing, Vol. 6, No. 12, Dec 1997, pp.1673-1687.
- [2] I. Wiseto P. Agung, *Watermarking and Content Protection for Digital Images and Video*, thesis of PhD in University of Surrey, 2002.
- [3] Mauro Barni, Franco Bartolini, *Watermarking Systems Engineering*, Marcel Dekker Publishing, 2004.
- [4] Joachim J. Eggers, Jonathan K. Su, and Bernd Girod, *Asymmetric Watermarking Schemes*, GMD Jahrestagung, Proceedings, Springer-Verlag, 2000.
- [5] G.F Gui, L.G Jiang, C He, *General Construction of Asymmetric Watermarking Based on Permutation*, Proc. IEEE Int. Workshop VLSI Design & Video Tech., May 28, 2005.
- [6] T.T. Kim, T. Kim, dan H. Choi, *Correlation-Based Asymmetric Watermarking Detector*, Int. ITCC, 2003.
- [7] H. Choi, K. Lee, dan T. Kim, *Transformed-Key Asymmetric Watermarking System*, IEEE Signal Processing Letters, Vol. 11. No. 2, February 2004.
- [8] Zhao Dawei, dkk, "A Chaos-Based Robust Wavelet-Dmain Watermarking Algorithm", Jurnal Chaos Solitons and Fractals 22 (2004) 47-54.
- [9] www.yahoo.com, *Chaos Theory: A Brief Introduction*, diakses pada bulan November 2005
- [10] James Lampton, *Chaos Cryptography: Protecting Data Using Chaos*, Mississippi School for Mathematics and Science.
- [11] Hongxia Wang, dkk, "Public Watermarking Based on Chaotic Map", IEICE Trans. Fundamentals, Vol. E87-A, No. August 2004.
- [12] Sangoh Jeong dan Kihyun Hong, *Dual Detection of A Watermark Embedded in the DCT Domain*, EE368A Project Report, 2001.